

吊橋用いるケーブルバンドのボルト軸力経時低下に関する一考察

建設省山口工事事務所 正員 村上己里

1. まえがき

吊橋用いるケーブルバンドは、補剛桁の荷重を支えるハンガーロープ張力をケーブルに伝達する構造物で、一般に鍛鉄製で、一封の半円形の両端のボルトに軸力を導入し、ケーブルを締付けることによってその位置を保持している。一方、締付け力とされるケーブルは多数のワイヤーの集合体で、その断面性状は弾塑性的な性質を示すため、ケーブルバンドの応力解析およびボルト軸力の保持には問題点がある。ケーブルバンドの応力解析については、ケーブル断面の変形を考慮しないのが一般的であるが、著者はケーブルバンドを円筒アーチと考えて締付け力時のケーブルの変形をその反力を荷重として応力解析の手法を提案した。また、ボルト軸力については、多くの吊橋について計測され、経時低下することが報告されている。しかし、この現象の原因が明確ではなく、総合的に経時低下量を予測する手法は現在のところないのが実状である。ここでは、ボルト軸力の経時低下量の算定手法を提案した。図-1はケーブルバンドの構造を示したものである。

2. 考察

2.1 原因の限定と考察の仮定

ボルト軸力が経時低下する原因として考えられるものは、①ワイヤーの亜鉛メッキ層の塑性流動、②ストランドのシージングテープの圧密、③ケーブルの空隙率の減少、④ケーブルバンド材のクリープがある。③はその挙動が不明確であり、④は応力度水準が一部と聞いて余り高くなないのでその影響は小さいとして、考察から除外した。ケーブルを構成するワイヤーは、交差がなくすべて線接触しているものとし、ケーブルバンドの締付け力は全周一定であると仮定する。

2.2 ワイヤーの線接触圧と亜鉛メッキ層およびシージングテープの変形

図-2はケーブルを真円形とし、締付け力(Z)でケーブルを締付けた状態を示したもので、外層の線接触圧(P_{Vi})は、

$$P_{Vi} = Z \cdot d / R \quad (1)$$

である。ここで、 $Z = nN_b / L_b$, n =ボルト本数, N_b =初期ボルト軸力, L_b =ケーブルバンド長, d =ワイヤーの直径, R =ケーブルバンドの半径である。 P_{Vi} のケーブル内部への伝達は、ワイヤー群のアーチ作用とワイヤー相互の摩擦によって遮減されるものと仮定して、 i 層の線接触圧を求めるところ式のようになる。

$$\begin{aligned} P_{hi} &= \sum_{i=1}^{N-1} P_{Vi} / (N+1-i) \\ P_{Vi} &= P_{Vi-1} - 2P_{hi-1} \left\{ 1/2(N+1-i) + f_w \right\} \end{aligned} \quad (2)$$

ここで、 P_{hi} は i 層のケーブル円周方向の線接触圧, P_{Vi} は i 層のケーブル直徑方向の線接触圧, N =層数, f_w =ワイヤー相互の摩擦係数である。次に、亜鉛メッキ層の塑性流動量は図-3に示すような実験により求めた。その結果、塑性流動量と時間との関係は、片対数表示すれば近似的に直線を示した。また、シージングテープの圧密についても同様な実験を行ったが、亜鉛メッキ層と同様の性状を示した。したがって、これらは次式で不

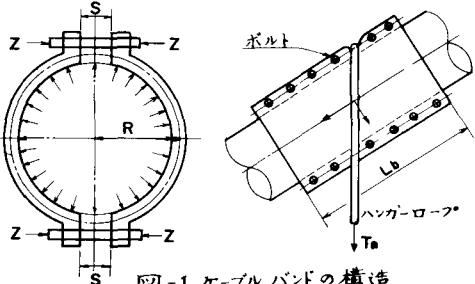


図-1 ケーブルバンドの構造

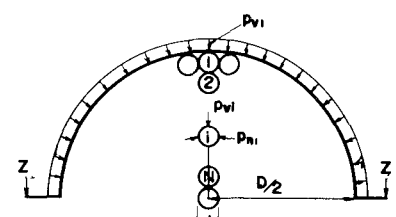


図-2 ケーブルの締付け

$$\Delta h_e(T) = C_w \log(T) \quad (3-1) \quad \Delta h_c(T) = C_s \log(T) \quad (3-2)$$

ここで、 $\Delta h_e(T)$ = 亜鉛メッシュ層の塑性流動量、 C_w = 塑性流動係数、 T = 時間、

$\Delta h_c(T)$ = シーリングテープの圧密量、 C_s = 圧密係数である。

2.3 ポルト軸力の算定

$\Delta h_e(T)$ および $\Delta h_c(T)$ によりケーブル径の減少、さらにポルト軸力の経時低下が生ずる。ケーブル径とワイヤー径および本数、また、ストランド径および本数との関係から、ケーブル径は、 $\Delta D = D(\Delta h_e(T)/d + \psi \cdot \Delta h_c(T)/h_s)$ ————— (4)

だけ減少する。 ψ は、 D = ケーブル径、 h_s = ストランド径、 ψ = シーリングテープの混入率で、 $\psi = L_b(1 - N_{so}/N_s)/\lambda$ で示すものである。ただし、入 = シーリングテープ間隔、 N_s = ストランド数、 N_{so} = 外層ストランド数である。 ΔD はケーブルバンドの間隙(S)に影響し、その変化量 ΔS は、

$\Delta S = \pi \cdot \Delta D / 2 - \pi \beta n (1 - \nu) X N_b - N_b(T)) / E_{cr} \cdot L_b$ ————— (5) となる。 $\beta = \bar{P}_v / P_{v1}$ 、 \bar{P}_v = 平均線荷重、 E_{cr} = ケーブル直徑方向の弾性係数、 ν = ポアソン比、 $\gamma = P_h / P_v$ 、 $N_b(T)$ = T時間後のボルト軸力である。ボルトの初期弾性伸び ΔL が T時間後 ΔS だけ減少したとすれば、その軸力は、

$$N_b(T) = N_b / (1 + \Delta S / \Delta L) \quad (6) \text{ で示される。}$$

3. 数値計算と実測値

数値計算に用いた基本値は次のものとする。

$$D = 660 \text{ mm}, d = 504 \text{ mm}, h_s = 48.6 \text{ mm}, \Delta L = 0.51 \text{ mm}, N = 154, N_{so} = 42, \psi = 0.4, \\ N_b = 40, n = 5, L_b = 1200 \text{ mm}, P_{v1} = 25 \text{ kN}, f_w = 0.2, \nu = 0.3, \lambda = 1500 \text{ mm} \\ E_{cr} = 1000 \text{ kN/mm}^2, \text{ また、実験値として } C_w = 0.638 \cdot 10^{-3}, C_s = 7.58 \cdot 10^{-3} \text{ を用いた。}$$

計算結果は図-4 に示す 0.3Gy 曲線である。さらに、応力度水準を変化させて試算すると、ボルト軸力の経時低下は減少することがわかる。図-5 は肉門橋の実測結果と計算値を比較したものである。実測は 8 種類のケーブルバンド 20 節、ボルト 200 本の平均値で、 47.2 t ($T=1$ 日)、 30.4 t ($T=500$ 日)、 28.3 t ($T=1200$ 日) である。

4. あとがき

これまでの考察および数値計算結果から、ボルトにはケーブル径の経時減少に追従できるような弾性伸びが必要である。その方法としては、種々考えられるが、ケーブルバンドの構造、材質からみてボルトの応力度水準を高くすることが適切であると考える。ボルトのネジ部および初期締付け時の異状高軸力の弊害なども考慮して、0.7Gy 程度の応力度水準が適切と考える。

参考文献

- 1) 村上己里：平行線ケーブル用いるケーブルバンドの解析に關する考察、土木学会論文報告集第259号、1977年3月
- 2) 日本道路公团：肉門橋工事報告書、土木学会、1977年
- 3) 日本道路公团：肉門橋ケーブルバンド補付工事報告書、昭和52年3月

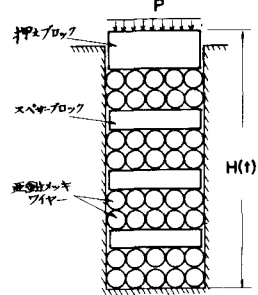


図-3 塑性流動係数の測定

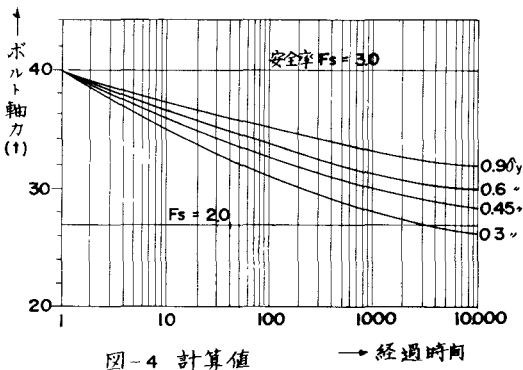


図-4 計算値

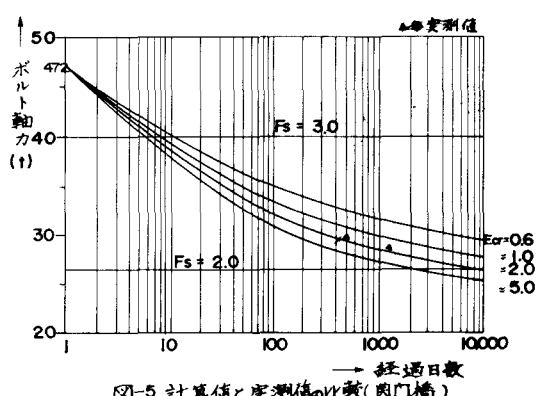


図-5 計算値と実測値の比較(肉門橋)